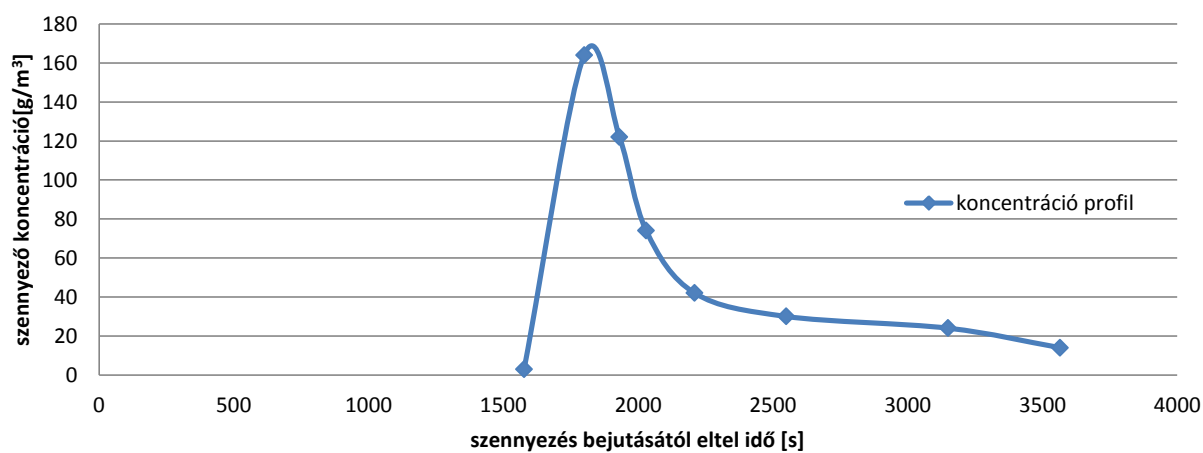


Számítási tábla a lökésszerű terhelés levonulásához

A 3D modell eredménye: koncentrácioprofil

felbontási egység	eljutási idő	térfogatarány	konc [g/m <sup>3</sup> ]	delta t	tömeg
0	1577	0,0015	3		
1	1800	0,082	164	223	5586150
2	1931	0,061	122	131	5619900
3	2030	0,037	74	99	2910600
4	2210	0,021	42	180	3132000
5	2550	0,015	30	340	3672000
6	3150	0,012	24	600	4860000
7	3566	0,007	14	416	2371200
					28151850

1525+200 fkm szelvényben a szennyező hullám levonulása





# Alapadatok

össz szennyező G 33000000 g  
 átlagos mélység H 3,5 m

hosszirányú diszp. Dx 2,6 m2/s  
 keresztirányú diszp. Dy 0,26 m2/s  
 idő t 107333,3333 s  
 beömléstől való táv. x 96600 m  
 átlagos sebesség v 0,9 m/s

távolság a beömléstől

Baja 48 km  
 Mohács 79 km  
 határ 93 km

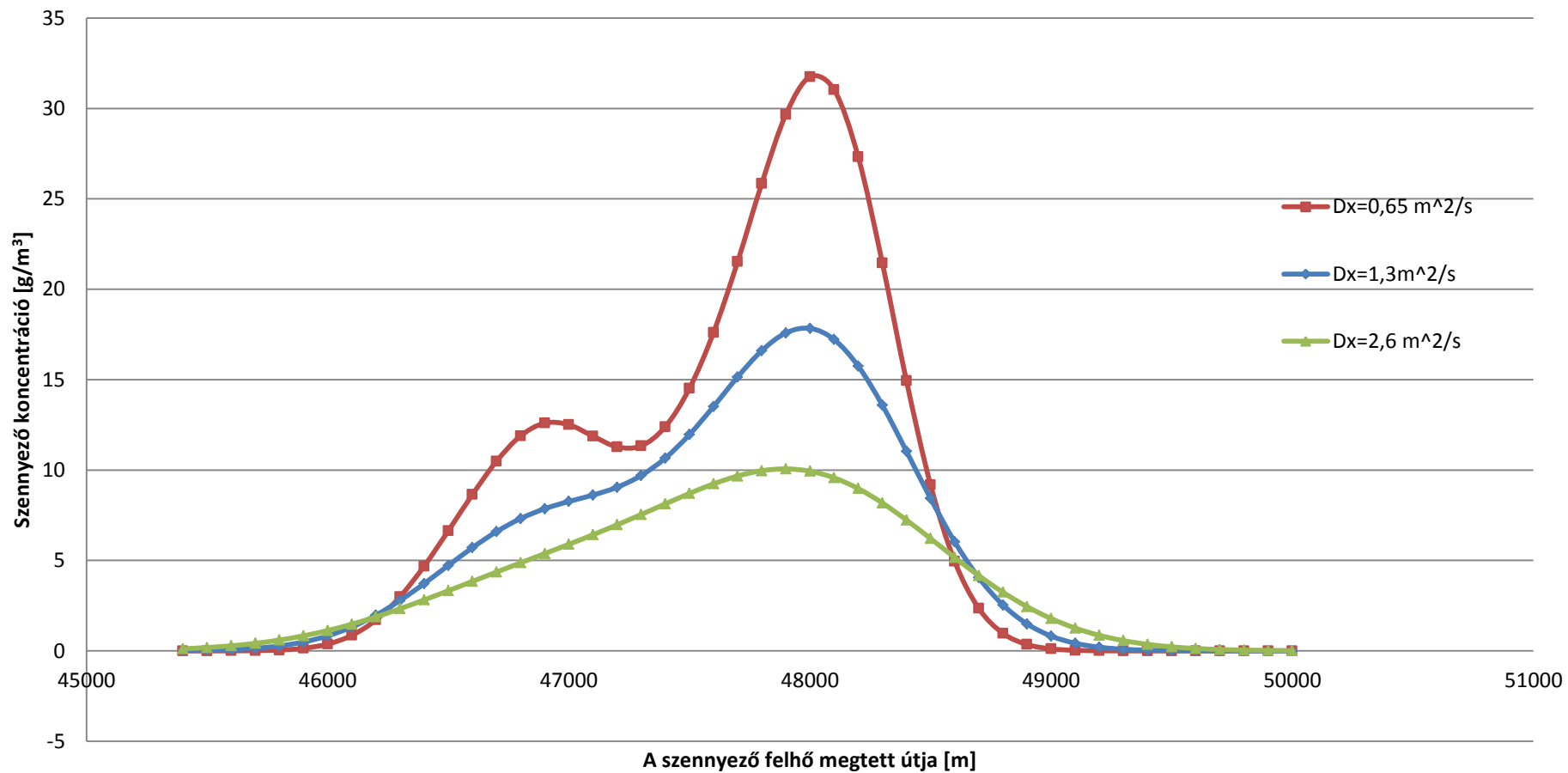
cmax1 1,4 8,5  
 cmax2 1,5  
 cmax3 0,8  
 cmax4 0,8  
 cmax5 1,0  
 cmax6 1,3  
 cmax7 0,6

Számítási tábla össz 7,3

x	y	konc[mg/l]		x	y	konc[mg/l]	
93000	0	1,70		95000	0	5,27	
93000	5	1,70		94900	0	5,52	
93000	10	1,70		94800	0	5,71	
93000	15	1,69		94700	0	5,83	
93000	20	1,69		94600	0	5,87	
93000	25	1,69		94500	0	5,85	
93000	30	1,68		94400	0	5,75	
93000	35	1,68		94300	0	5,60	
93000	40	1,67		94200	0	5,40	
93000	45	1,67		94100	0	5,15	
93000	50	1,66		94000	0	4,87	
93000	55	1,65		93900	0	4,56	
93000	60	1,64		93800	0	4,24	
93000	65	1,63		93700	0	3,90	
93000	70	1,62		93600	0	3,56	
93000	75	1,61		93500	0	3,22	
93000	80	1,60		93400	0	2,89	
93000	85	1,59		93300	0	2,57	
93000	90	1,58		93200	0	2,26	
93000	95	1,56		93100	0	1,97	
93000	100	1,55		93000	0	1,70	
93000	105	1,53		92900	0	1,45	
93000	110	1,52		92800	0	1,22	
93000	115	1,50		92700	0	1,01	
93000	120	1,49		92600	0	0,83	
93000	125	1,47		92500	0	0,67	
93000	130	1,45		92400	0	0,53	
93000	135	1,43		92300	0	0,42	
93000	140	1,42		92200	0	0,32	
93000	145	1,40		92100	0	0,25	
93000	150	1,38		92000	0	0,19	
93000	155	1,36		91900	0	0,14	
93000	160	1,34		91800	0	0,10	
93000	165	1,32		91700	0	0,07	
93000	170	1,30		91600	0	0,05	
93000	175	1,28		91500	0	0,03	
93000	180	1,26		91400	0	0,02	

93000	185	1,24	91300	0	0,02
93000	190	1,22	91200	0	0,01
93000	195	1,20	91100	0	0,01
93000	200	1,17	91000	0	0,00
93000	205	1,15	90900	0	0,00
93000	210	1,13	90800	0	0,00
93000	215	1,11	90700	0	0,00
93000	220	1,09	90600	0	0,00
93000	225	1,06	90500	0	0,00
93000	230	1,04	90400	0	0,00
93000	235	1,02			
93000	240	1,00			
93000	245	0,98			
93000	250	0,95			
93000	255	0,93			
93000	260	0,91			
93000	265	0,89			
93000	270	0,87			
93000	275	0,84			
93000	280	0,82			
93000	285	0,80			
93000	290	0,78			
93000	295	0,76			
93000	300	0,74			
93000	305	0,72			
93000	310	0,70			
93000	315	0,68			
93000	320	0,66			
93000	325	0,64			
93000	330	0,62			
93000	335	0,60			
93000	340	0,58			
93000	345	0,57			
93000	350	0,55			
93000	355	0,53			
93000	360	0,51			
93000	365	0,50			
93000	370	0,48			
93000	375	0,46			
93000	380	0,45			
93000	385	0,43			
93000	390	0,42			
93000	395	0,40			
93000	400	0,39			
93000	405	0,37			
93000	410	0,36			
93000	415	0,35			
93000	420	0,33			
93000	425	0,32			

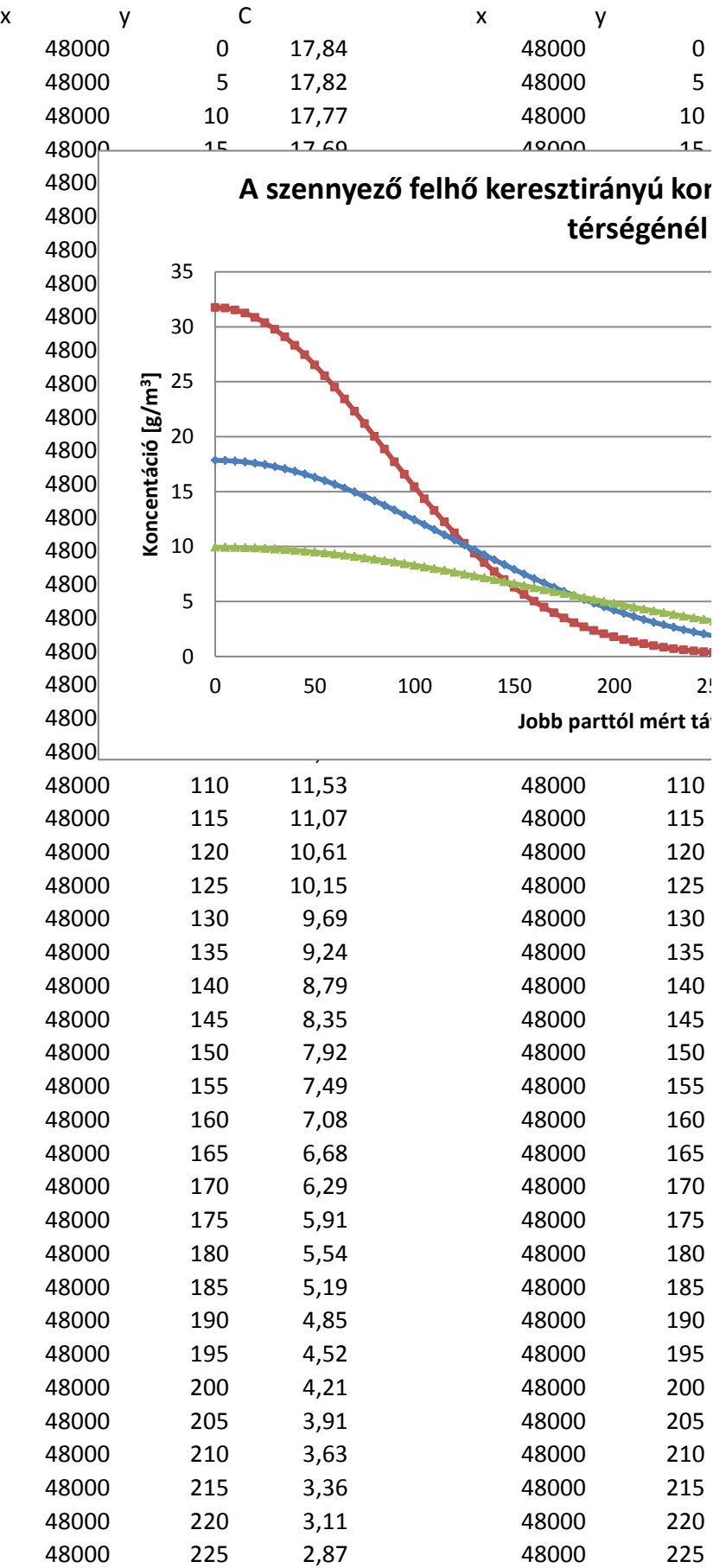
## A szennyező felhő hosszirányú koncentráció eloszlása Baja térségénél



Az alapképlettel különböző diszperziós tényezőkkel különböző helyeken (Baja, Mohács, határ, a felhő ke

Dy 0,13 Dy 0,065

Baja



48000	230	2,64	48000	230
48000	235	2,43	48000	235
48000	240	2,23	48000	240
48000	245	2,04	48000	245
48000	250	1,87	48000	250
48000	255	1,71	48000	255
48000	260	1,56	48000	260
48000	265	1,41	48000	265
48000	270	1,28	48000	270
48000	275	1,16	48000	275
48000	280	1,05	48000	280
48000	285	0,951126	48000	285
48000	290	0,85739	48000	290
48000	295	0,771498	48000	295
48000	300	0,69296	48000	300
48000	305	0,621295	48000	305
48000	310	0,556037	48000	310
48000	315	0,496737	48000	315
48000	320	0,442961	48000	320
48000	325	0,394294	48000	325
48000	330	0,350342	48000	330
48000	335	0,310728	48000	335
48000	340	0,275097	48000	340
48000	345	0,243112	48000	345
48000	350	0,214459	48000	350
48000	355	0,188842	48000	355
48000	360	0,165985	48000	360
48000	365	0,145632	48000	365
48000	370	0,127544	48000	370
48000	375	0,111502	48000	375
48000	380	0,097301	48000	380
48000	385	0,084756	48000	385
48000	390	0,073696	48000	390
48000	395	0,063963	48000	395
48000	400	0,055415	48000	400
48000	405	0,047924	48000	405
48000	410	0,04137	48000	410
48000	415	0,035648	48000	415

koncentrációjának eloszlásai

Dy

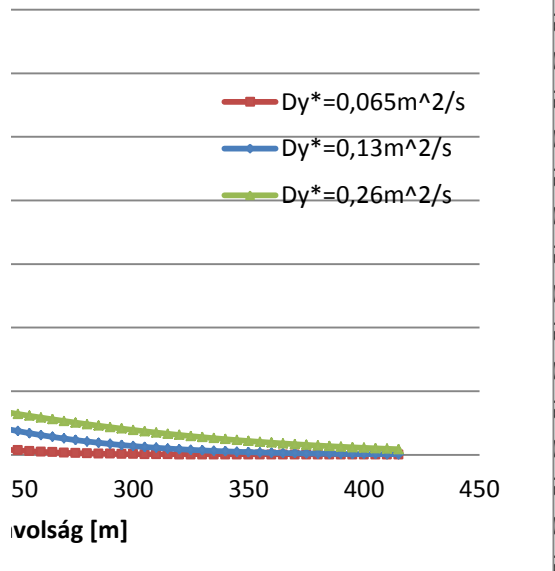
0,26

Dx

1,3

C	x	y	C
31,74701	48000	0	9,94
31,68981	48000	5	9,93
31,51883	48000	10	9,92
31,32250	48000	15	9,90
			9,87
			9,83
			9,78
			9,72
			9,65
			9,58
			9,50
			9,41
			9,31
			9,21
			9,10
			8,98
			8,85
			8,72
			8,58
			8,44
			8,30
			8,14
13,26295	48000	110	7,99
12,22917	48000	115	7,83
11,23537	48000	120	7,66
10,28517	48000	125	7,49
9,381436	48000	130	7,32
8,526303	48000	135	7,15
7,72122	48000	140	6,97
6,966983	48000	145	6,80
6,263792	48000	150	6,62
5,611301	48000	155	6,44
5,008682	48000	160	6,26
4,454687	48000	165	6,08
3,947704	48000	170	5,90
3,485826	48000	175	5,71
3,066906	48000	180	5,53
2,688618	48000	185	5,36
2,348505	48000	190	5,18
2,044031	48000	195	5,00
1,772627	48000	200	4,82
1,531725	48000	205	4,65
1,318798	48000	210	4,48
1,131383	48000	215	4,31
0,967107	48000	220	4,15
0,823708	48000	225	3,98

## koncentráció eloszlása Baja



x	y
50000	0
49900	0
49800	0
49700	0
49600	0
49500	0
49400	0
49300	0
49200	0
49100	0
49000	0
48900	0
48800	0
48700	0
48600	0
48500	0
48400	0
48300	0
48200	0
48100	0
48000	0
47900	0
47800	0
47700	0
47600	0
47500	0
47400	0
47300	0
47200	0
47100	0
47000	0
46900	0
46800	0
46700	0
46600	0
46500	0
46400	0
46300	0
46200	0
46100	0
46000	0
45900	0
45800	0
45700	0
45600	0
45500	0

0,699046	48000	230	3,82	45400	0
0,591115	48000	235	3,66		
0,498049	48000	240	3,51		
0,418125	48000	245	3,36		
0,349763	48000	250	3,21		
0,291525	48000	255	3,07		
0,242109	48000	260	2,93		
0,200346	48000	265	2,79		
0,16519	48000	270	2,66		
0,135713	48000	275	2,53		
0,111095	48000	280	2,41		
0,090614	48000	285	2,29		
0,073644	48000	290	2,17		
0,059636	48000	295	2,06		
0,048119	48000	300	1,96		
0,038686	48000	305	1,85		
0,030991	48000	310	1,75		
0,024737	48000	315	1,65		
0,019674	48000	320	1,56		
0,01559	48000	325	1,47		
0,01231	48000	330	1,39		
0,009685	48000	335	1,31		
0,007593	48000	340	1,23		
0,005931	48000	345	1,16		
0,004616	48000	350	1,09		
0,00358	48000	355	1,02		
0,002766	48000	360	0,96		
0,00213	48000	365	0,90		
0,001634	48000	370	0,84		
0,001249	48000	375	0,78		
0,000951	48000	380	0,73		
0,000722	48000	385	0,68		
0,000546	48000	390	0,64		
0,000411	48000	395	0,59		
0,000309	48000	400	0,55		
0,000231	48000	405	0,51		
0,000172	48000	410	0,48		
0,000128	48000	415	0,44		

	Dx	0,65	Dx	2,6
C				
4,63E-05	50000	0 5,29E-10	50000	0 0,01
0,000169	49900	0 6,79E-09	49900	0 0,02
0,000572	49800	0 7,57E-08	49800	0 0,04
0,001808	49700	0 7,31E-07	49700	0 0,08
0,005332	49600	0 6,13E-06	49600	0 0,13
0,014668	49500	0 4,47E-05	49500	0 0,22
0,037644	49400	0 0,000282	49400	0 0,36
0,090151	49300	0 0,001553	49300	0 0,57
0,201512	49200	0 0,007422	49200	0 0,86
0,420548	49100	0 0,030875	49100	0 1,26
0,819731	49000	0 0,111871	49000	0 1,78
1,492945	48900	0 0,353411	48900	0 2,45
2,541827	48800	0 0,974521	48800	0 3,24
4,047956	48700	0 2,348805	48700	0 4,16
6,034371	48600	0 4,956348	48600	0 5,16
8,428204	48500	0 9,175019	48500	0 6,21
11,04222	48400	0 14,93747	48400	0 7,24
13,59117	48300	0 21,45848	48300	0 8,18
15,74721	48200	0 27,32259	48200	0 8,98
17,22042	48100	0 31,03414	48100	0 9,57
17,83656	48000	0 31,74701	48000	0 9,94
17,5824	47900	0 29,6684	47900	0 10,06
16,60207	47800	0 25,84451	47800	0 9,96
15,14908	47700	0 21,52486	47700	0 9,67
13,51493	47600	0 17,6076	47600	0 9,23
11,95958	47500	0 14,51301	47500	0 8,70
10,66231	47400	0 12,39695	47400	0 8,13
9,699745	47300	0 11,33902	47300	0 7,54
9,049788	47200	0 11,28301	47200	0 6,97
8,615726	47100	0 11,87614	47100	0 6,42
8,263343	47000	0 12,50635	47000	0 5,89
7,861681	46900	0 12,596	46900	0 5,38
7,317114	46800	0 11,88984	46800	0 4,87
6,592267	46700	0 10,48453	46700	0 4,36
5,706675	46600	0 8,644645	46600	0 3,84
4,722363	46500	0 6,635899	46500	0 3,32
3,721604	46400	0 4,686525	46400	0 2,82
2,784591	46300	0 2,996901	46300	0 2,33
1,972651	46200	0 1,708846	46200	0 1,88
1,319633	46100	0 0,858419	46100	0 1,48
0,831529	46000	0 0,376718	46000	0 1,13
0,492377	45900	0 0,143649	45900	0 0,83
0,273391	45800	0 0,047437	45800	0 0,60
0,142074	45700	0 0,013539	45700	0 0,42
0,06899	45600	0 0,003336	45600	0 0,28
0,031262	45500	0 0,000709	45500	0 0,18

0,013205

45400

0 0,00013

45400

0

0,12

Mohács Dy

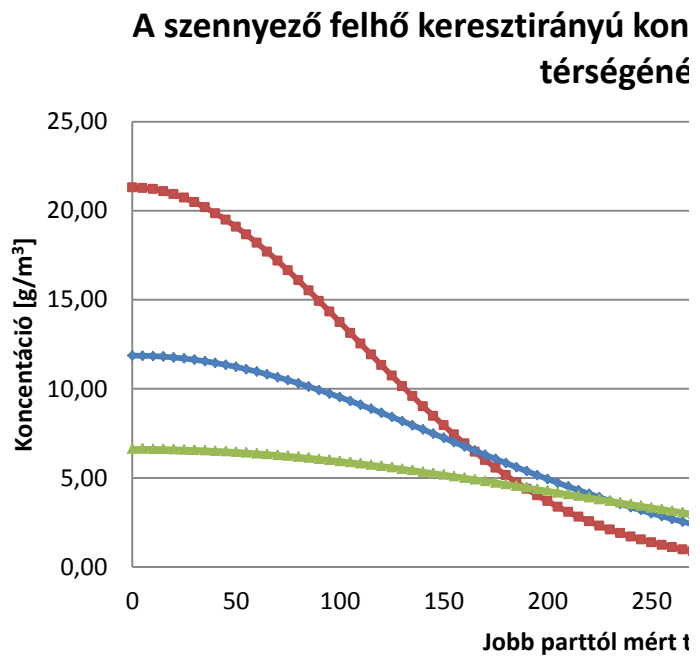
0,13

Dy

0,065

79000	0	11,86438
79000	5	11,85787
79000	10	11,83838
79000	15	11,80596
79000	20	11,76073
79000	25	11,70283
79000	30	11,63244
79000	35	11,54981
79000	40	11,45519
79000	45	11,34889
79000	50	11,23125
79000	55	11,10265
79000	60	10,96349
79000	65	10,81421
79000	70	10,65527
79000	75	10,48715
79000	80	10,31037
79000	85	10,12546
79000	90	9,93297
79000	95	9,733454
79000	100	9,527491
79000	105	9,315663
79000	110	9,098559
79000	115	8,876774
79000	120	8,650902
79000	125	8,421536
79000	130	8,189264
79000	135	7,954669
79000	140	7,718325
79000	145	7,480793
79000	150	7,242624
79000	155	7,00435
79000	160	6,766491
79000	165	6,529543
79000	170	6,293986
79000	175	6,060276
79000	180	5,828848
79000	185	5,600112
79000	190	5,374455
79000	195	5,152237
79000	200	4,933792
79000	205	4,71943
79000	210	4,509434
79000	215	4,304058
79000	220	4,103533
79000	225	3,908061

79000	0	21,30
79000	5	21,28
79000	10	21,21
79000	15	21,09
79000	20	20,93



79000	115	11,93
79000	120	11,33
79000	125	10,74
79000	130	10,15
79000	135	9,58
79000	140	9,02
79000	145	8,47
79000	150	7,94
79000	155	7,43
79000	160	6,93
79000	165	6,46
79000	170	6,00
79000	175	5,56
79000	180	5,15
79000	185	4,75
79000	190	4,37
79000	195	4,02
79000	200	3,69
79000	205	3,37
79000	210	3,08
79000	215	2,81
79000	220	2,55
79000	225	2,31

79000	230	3,717821
79000	235	3,532965
79000	240	3,35362
79000	245	3,17989
79000	250	3,011854
79000	255	2,849572
79000	260	2,693077
79000	265	2,542388
79000	270	2,397499
79000	275	2,258389
79000	280	2,125019
79000	285	1,997334
79000	290	1,875263
79000	295	1,758722
79000	300	1,647616
79000	305	1,541837
79000	310	1,441268
79000	315	1,345782
79000	320	1,255245
79000	325	1,169515
79000	330	1,088446
79000	335	1,011886
79000	340	0,93968
79000	345	0,87167
79000	350	0,807696
79000	355	0,747597
79000	360	0,691211
79000	365	0,638378
79000	370	0,588937
79000	375	0,542729
79000	380	0,499599
79000	385	0,459392
79000	390	0,421957
79000	395	0,387149
79000	400	0,354822
79000	405	0,324839
79000	410	0,297063
79000	415	0,271364
79000	420	0,247617
79000	425	0,2257
79000	430	0,205498

79000	230	2,09
79000	235	1,89
79000	240	1,70
79000	245	1,53
79000	250	1,37
79000	255	1,23
79000	260	1,10
79000	265	0,98
79000	270	0,87
79000	275	0,77
79000	280	0,68
79000	285	0,60
79000	290	0,53
79000	295	0,47
79000	300	0,41
79000	305	0,36
79000	310	0,32
79000	315	0,27
79000	320	0,24
79000	325	0,21
79000	330	0,18
79000	335	0,16
79000	340	0,13
79000	345	0,12
79000	350	0,10
79000	355	0,08
79000	360	0,07
79000	365	0,06
79000	370	0,05
79000	375	0,04
79000	380	0,04
79000	385	0,03
79000	390	0,03
79000	395	0,02
79000	400	0,02
79000	405	0,02
79000	410	0,01
79000	415	0,01
79000	420	0,00932
79000	425	0,007744
79000	430	0,00642

Dy 0,26

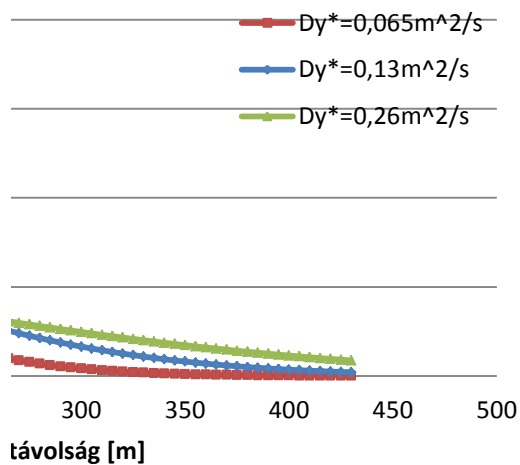
Dx 1,3

79000	0	6,634438
79000	5	6,632617
79000	10	6,627158
79000	15	6,61807
79000	20	6,605367

81000	0	0,003659
80900	0	0,008115
80800	0	0,017247
80700	0	0,035135
80600	0	0,068613

## koncentráció eloszlása Mohács

ál



79000	115	5,737841
79000	120	5,6643
79000	125	5,588633
79000	130	5,51095
79000	135	5,431366
79000	140	5,349992
79000	145	5,266947
79000	150	5,182345
79000	155	5,096303
79000	160	5,00894
79000	165	4,920373
79000	170	4,830719
79000	175	4,740097
79000	180	4,648622
79000	185	4,55641
79000	190	4,463577
79000	195	4,370236
79000	200	4,276499
79000	205	4,182475
79000	210	4,088275
79000	215	3,994003
79000	220	3,899763
79000	225	3,805658

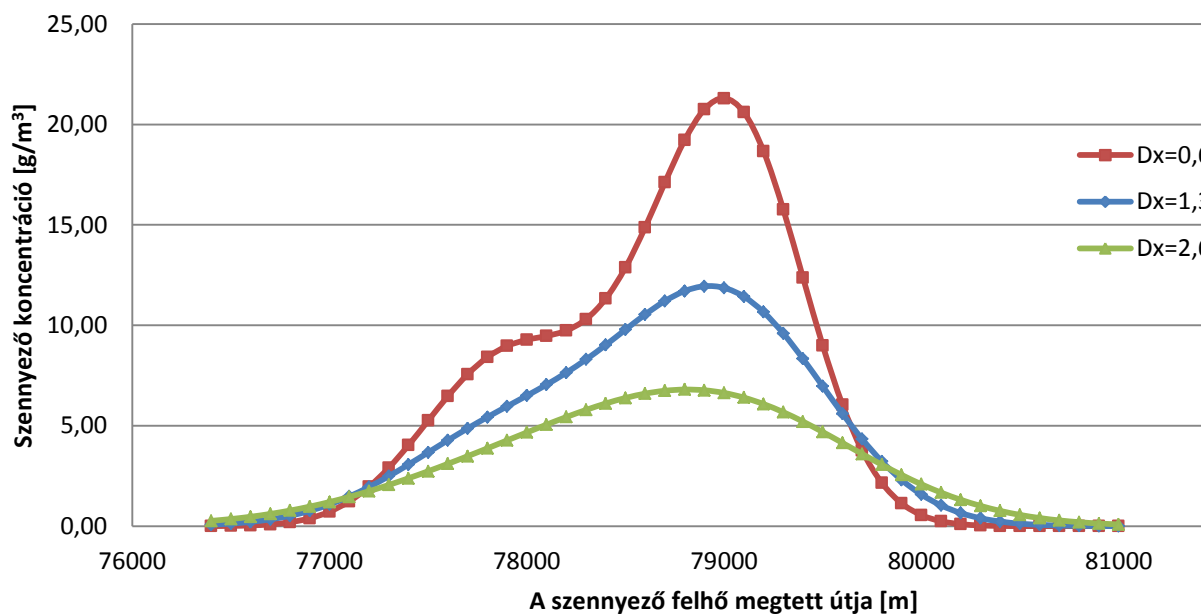
80500	0	0,128457
80400	0	0,230593
80300	0	0,396952
80200	0	0,655402
80100	0	1,038101
80000	0	1,57773
79900	0	2,30147
79800	0	3,223286
79700	0	4,335941
79600	0	5,604882
79500	0	6,966329
79400	0	8,331345
79300	0	9,596274
79200	0	10,65811
79100	0	11,43166
79000	0	11,86438
78900	0	11,94517
78800	0	11,70484
78700	0	11,20808
78600	0	10,53926
78500	0	9,785573
78400	0	9,021638
78300	0	8,298816
78200	0	7,641046
78100	0	7,047177
78000	0	6,498275
77900	0	5,96745
77800	0	5,429509
77700	0	4,868263
77600	0	4,280218
77500	0	3,674453
77400	0	3,069462
77300	0	2,488283
77200	0	1,953382
77100	0	1,482525
77000	0	1,086335
76900	0	0,767701
76800	0	0,522734
76700	0	0,342668
76600	0	0,216099
76500	0	0,131019

79000	230	3,711785	76400	0	0,076324
79000	235	3,618242			
79000	240	3,52512			
79000	245	3,432511			
79000	250	3,3405			
79000	255	3,249172			
79000	260	3,158606			
79000	265	3,06888			
79000	270	2,980066			
79000	275	2,892235			
79000	280	2,805452			
79000	285	2,71978			
79000	290	2,635277			
79000	295	2,551998			
79000	300	2,469995			
79000	305	2,389315			
79000	310	2,310002			
79000	315	2,232097			
79000	320	2,155635			
79000	325	2,08065			
79000	330	2,007172			
79000	335	1,935226			
79000	340	1,864835			
79000	345	1,796018			
79000	350	1,728791			
79000	355	1,663168			
79000	360	1,599158			
79000	365	1,536768			
79000	370	1,476001			
79000	375	1,416859			
79000	380	1,359341			
79000	385	1,303442			
79000	390	1,249156			
79000	395	1,196474			
79000	400	1,145385			
79000	405	1,095876			
79000	410	1,047932			
79000	415	1,001535			
79000	420	0,956667			
79000	425	0,913308			
79000	430	0,871435			

Dx	0,65	Dx	2,6	határ
----	------	----	-----	-------

81000	0	0,00	81000	0	0,090557
80900	0	0,00	80900	0	0,136135
80800	0	0,00	80800	0	0,200388
80700	0	0,00	80700	0	0,288838
80600	0	0,00	80600	0	0,407706
80500	0	0,00	80500	0	0,563613
80400	0	0,01	80400	0	0,763124
80300	0	0,04	80300	0	1,012121
80200	0	0,10	80200	0	1,315054
80100	0	0,25	80100	0	1,674115

**A szennyező felhő hosszirányú koncentráció eloszlása Mohács térségénél**



78100	0	9,47	78100	0	5,056812
78000	0	9,28	78000	0	4,666976
77900	0	8,97	77900	0	4,271587
77800	0	8,41	77800	0	3,876531
77700	0	7,56	77700	0	3,486548
77600	0	6,48	77600	0	3,105666
77500	0	5,26	77500	0	2,737546
77400	0	4,03	77400	0	2,385691
77300	0	2,91	77300	0	2,053488
77200	0	1,96	77200	0	1,744117
77100	0	1,24	77100	0	1,460362
77000	0	0,73	77000	0	1,204401
76900	0	0,39	76900	0	0,977607
76800	0	0,20	76800	0	0,780427
76700	0	0,09	76700	0	0,612355
76600	0	0,04	76600	0	0,471999
76500	0	0,02	76500	0	0,357221

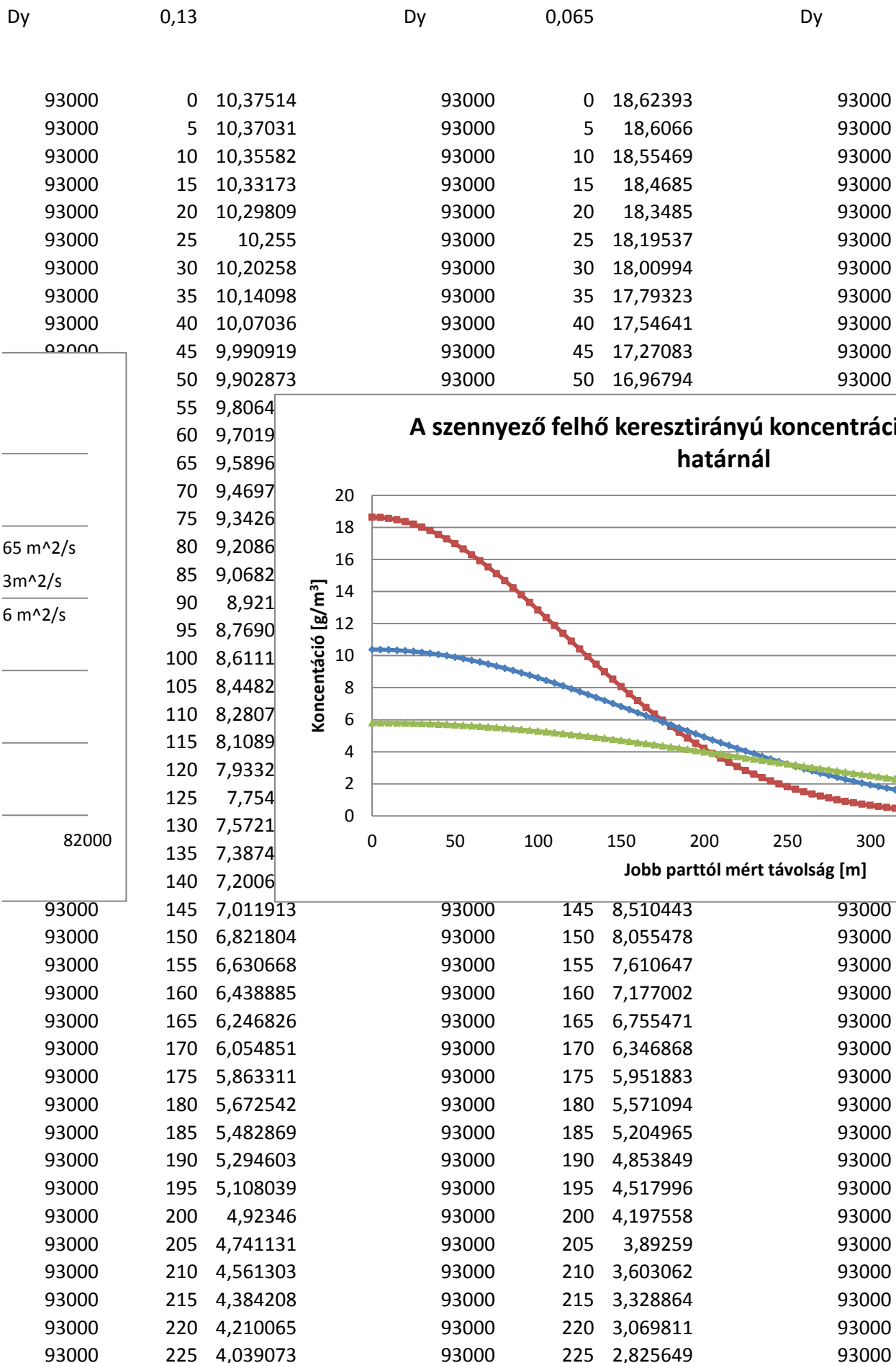
76400

0

0,01

76400

0 0,265347



93000	230	3,871418	93000	230	2,596068	93000
93000	235	3,707266	93000	235	2,380702	93000
93000	240	3,546768	93000	240	2,179141	93000
93000	245	3,390058	93000	245	1,990933	93000
93000	250	3,237255	93000	250	1,815596	93000
93000	255	3,08846	93000	255	1,65262	93000
93000	260	2,943761	93000	260	1,501474	93000
93000	265	2,803227	93000	265	1,361614	93000
93000	270	2,666917	93000	270	1,232484	93000
93000	275	2,534872	93000	275	1,113524	93000
93000	280	2,407121	93000	280	1,004175	93000
93000	285	2,28368	93000	285	0,903879	93000
93000	290	2,164551	93000	290	0,812086	93000
93000	295	2,049726	93000	295	0,728258	93000
93000	300	1,939185	93000	300	0,651868	93000
93000	305	1,832896	93000	305	0,582405	93000
93000	310	1,73082	93000	310	0,519376	93000
93000	315	1,632907	93000	315	0,462307	93000
93000	320	1,539098	93000	320	0,410742	93000
93000	325	1,449327	93000	325	0,36425	93000
93000	330	1,363521	93000	330	0,32242	93000
93000	335	1,281601	93000	335	0,284862	93000
93000	340	1,203481	93000	340	0,251211	93000
93000	345	1,12907	93000	345	0,221123	93000
93000	350	1,058273	93000	350	0,194276	93000
93000	355	0,990992	93000	355	0,170372	93000
93000	360	0,927124	93000	360	0,14913	93000
93000	365	0,866565	93000	365	0,130295	93000
93000	370	0,809207	93000	370	0,113626	93000
93000	375	0,754942	93000	375	0,098905	93000
93000	380	0,70366	93000	380	0,085932	93000
93000	385	0,65525	93000	385	0,074521	93000
93000	390	0,609603	93000	390	0,064505	93000
93000	395	0,566608	93000	395	0,055732	93000
93000	400	0,526155	93000	400	0,048062	93000
93000	405	0,488134	93000	405	0,04137	93000
93000	410	0,45244	93000	410	0,035544	93000
93000	415	0,418965	93000	415	0,030482	93000
93000	420	0,387606	93000	420	0,026092	93000
93000	425	0,35826	93000	425	0,022293	93000

0,26

Dx

1,3

Dx

0,65

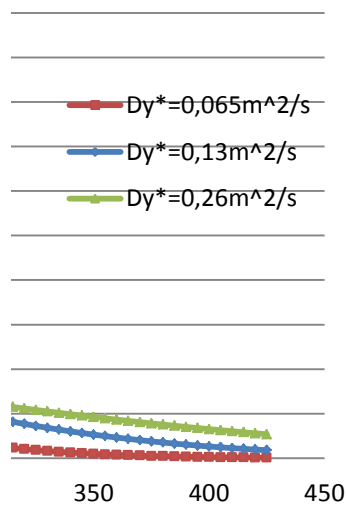
0	5,801732
5	5,800379
10	5,796324
15	5,789571
20	5,78013
25	5,768014
30	5,753241
35	5,73583
40	5,715807
45	5,693198
50	5,668034

95000  
94900  
94800  
94700  
94600  
94500  
94400  
94300  
94200  
94100  
94000

0	0,009906
0	0,019555
0	0,037236
0	0,068398
0	0,121213
0	0,207262
0	0,341982
0	0,544574
0	0,837041
0	1,242078
0	1,779722

95000  
94900  
94800  
94700  
94600  
94500  
94400  
94300  
94200  
94100  
94000

0  
0  
0  
0  
0  
0  
0  
0  
0  
0  
0  
0



145	4,768758
150	4,703611
155	4,637192
160	4,56958
165	4,500854
170	4,431096
175	4,360385
180	4,288802
185	4,216428
190	4,143343
195	4,069626
200	3,995358
205	3,920617
210	3,84548
215	3,770025
220	3,694328
225	3,618463

92100  
92000  
91900  
91800  
91700  
91600  
91500  
91400  
91300  
91200  
91100  
91000  
90900  
90800  
90700  
90600  
90500

0	6,5811
0	6,038009
0	5,511639
0	4,990314
0	4,465524
0	3,934814
0	3,402576
0	2,878981
0	2,377629
0	1,912714
0	1,496422
0	1,137081
0	0,838308
0	0,599121
0	0,41477
0	0,277978
0	0,180256

92100  
92000  
91900  
91800  
91700  
91600  
91500  
91400  
91300  
91200  
91100  
91000  
90900  
90800  
90700  
90600  
90500

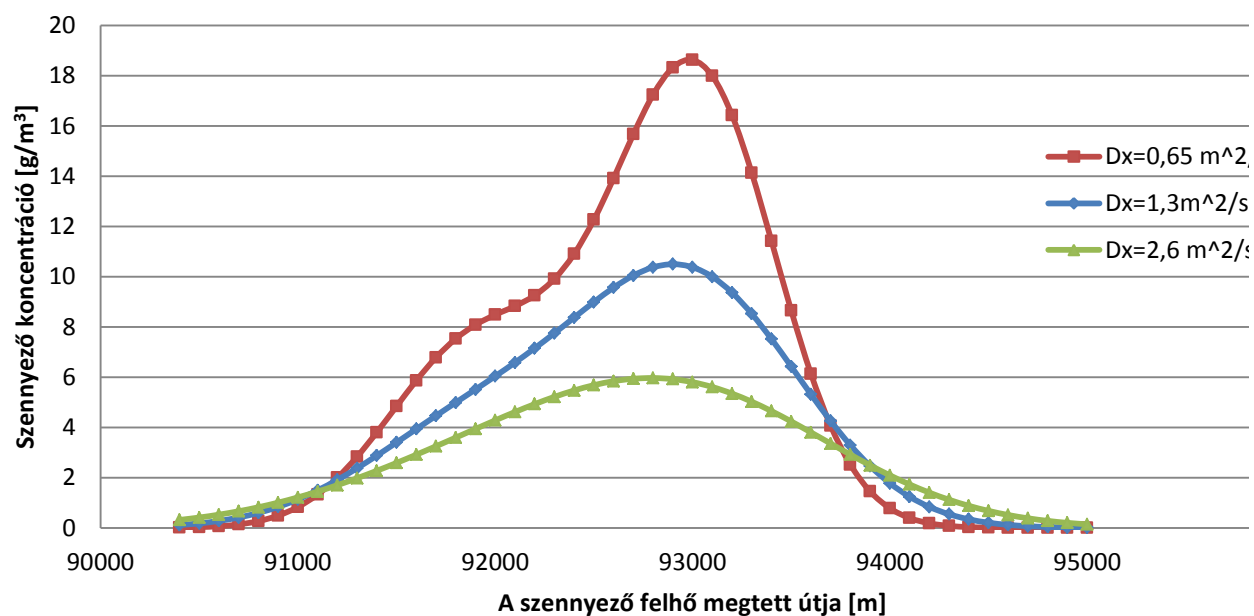
[illegible]

230	3,542504	90400	0	0,11304	90400	0
235	3,466522					
240	3,390589					
245	3,314774					
250	3,239143					
255	3,163762					
260	3,088695					
265	3,014003					
270	2,939747					
275	2,865983					
280	2,792768					
285	2,720155					
290	2,648194					
295	2,576935					
300	2,506425					
305	2,436708					
310	2,367826					
315	2,299818					
320	2,232723					
325	2,166574					
330	2,101405					
335	2,037247					
340	1,974126					
345	1,91207					
350	1,851101					
355	1,79124					
360	1,732508					
365	1,67492					
370	1,618491					
375	1,563235					
380	1,509161					
385	1,456279					
390	1,404594					
395	1,354113					
400	1,304837					
405	1,256768					
410	1,209906					
415	1,164248					
420	1,119791					
425	1,07653					

Dx 2,6

3,21E-05	95000	0	0,141664
0,000122	94900	0	0,200775
0,000431	94800	0	0,27952
0,001417	94700	0	0,382292
0,004331	94600	0	0,51367
0,012317	94500	0	0,678127
0,032598	94400	0	0,879652
0,080313	94300	0	1,121307
0,184246	94200	0	1,404747
0,393693	94100	0	1,729753
0,783841	94000	0	2,093838

### A szennyező felhő hosszirányú koncentráció eloszlása a határnál



8,484186	92000	0	4,281422
8,085271	91900	0	3,939944
7,531035	91800	0	3,594805
6,78333	91700	0	3,251404
5,864886	91600	0	2,914371
4,843049	91500	0	2,587703
3,805569	91400	0	2,274874
2,836858	91300	0	1,978897
2,00058	91200	0	1,702335
1,331064	91100	0	1,447274
0,833358	91000	0	1,215266
0,489762	90900	0	1,007274
0,269581	90800	0	0,823638
0,138706	90700	0	0,664067
0,0666	90600	0	0,527678
0,029801	90500	0	0,413069

0,012413

90400

0 0,318425

/s
i
s
96000

# Változások folyásirányban

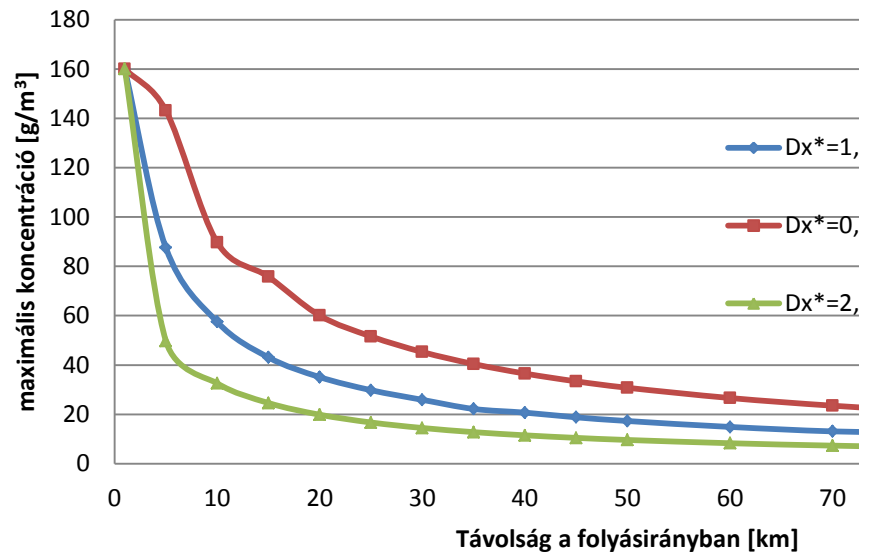
		Táv. Folyásirány [l Maximális konc [g/m <sup>3</sup> Felhő hossz; Felhő szélesség [m]			
Dx*	1,3 m <sup>2</sup> /s	0	2000		
Dy*	0,13 m <sup>2</sup> /s	1	160		
		5	87,6	2000	80
		10	57,5	2100	115
		15	43,1	2140	142
		20	35,1	2200	162
		25	29,8	2370	184
		30	25,9	2500	200
		35	22,2	2560	215
		40	20,7	2600	218
		45	18,8	2680	245
		50	17,3	2800	256
		60	14,9	2900	285
		70	13,1	2970	305
		80	12,4	3000	330
		90	11,7	3080	345
		93	10,4	3100	350

		Táv. Folyásirány [l Maximális konc [g/m <sup>3</sup> Felhő hossz; Felhő szélesség [m]			
Dx*	0,65 m <sup>2</sup> /s	0	2000		
Dy*	0,065 m <sup>2</sup> /s	1	160		
		5	143,2	1000	57
		10	89,74	2000	82
		15	75,8	2060	100
		20	60,06	2100	116
		25	51,6	2140	130
		30	45,28	2170	147
		35	40,41	2200	152
		40	36,54	2220	162
		45	33,38	2300	173
		50	30,78	2370	180
		60	26,62	2400	200
		70	23,51	2430	215
		80	21,08	2500	230
		90	19,14	2620	244
		93	18,62	2700	250

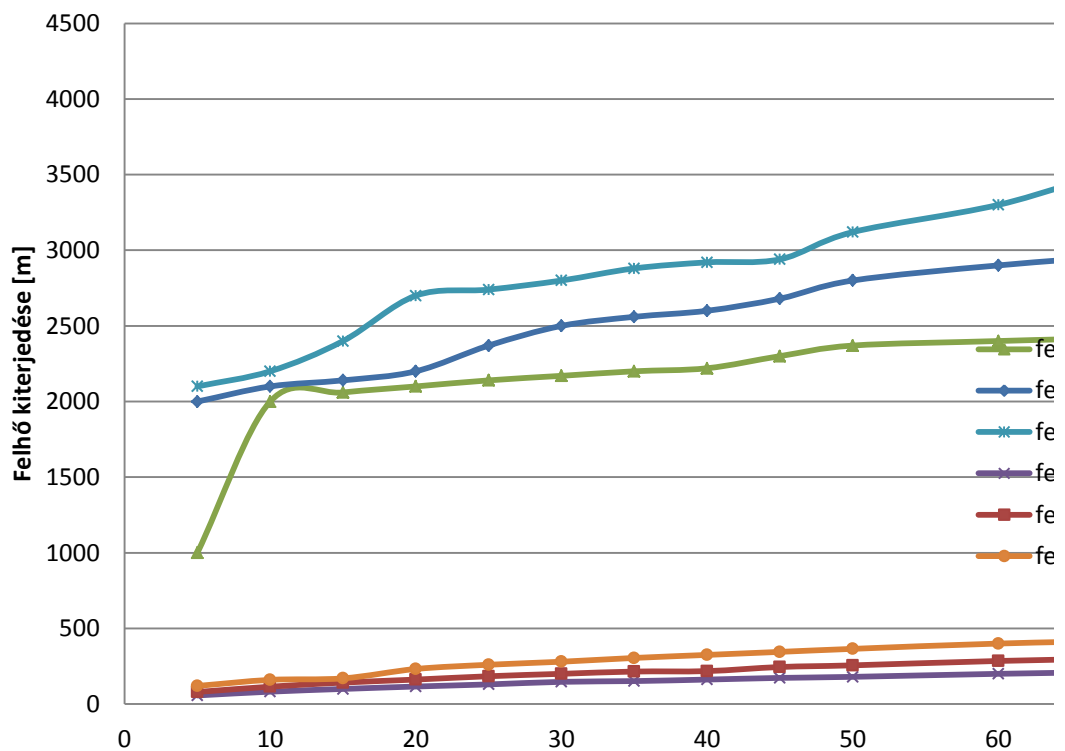
		Táv. Folyásirány [l Maximális konc [g/m <sup>3</sup> Felhő hossz; Felhő szélesség [m]			
Dx*	2,6 m <sup>2</sup> /s	0	2000		
Dy*	0,26 m <sup>2</sup> /s	1	160		
		5	49,8	2100	120
		10	32,61	2200	160
		15	24,61	2400	170
		20	19,86	2700	232
		25	16,71	2740	260
		30	14,48	2800	280
		35	12,8	2880	305

40	11,51	2920	325
45	10,47	2940	345
50	9,62	3120	365
60	8,3	3300	400
70	7,32	3560	420
80	6,57	3600	425
90	5,96	3800	470
93	5,8	3900	475

## A szennyező felhő maximális koncer



## A szennyező felhő kiterjedése folyásirány



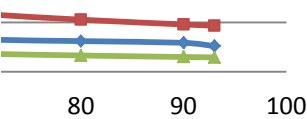
Távolság a folyásirányban [km]

nterációja

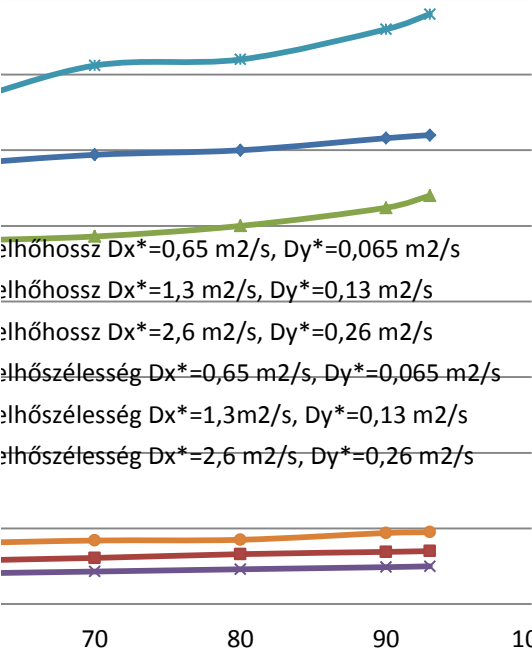
,3 m2/s, Dy\*=0,065 m2/s

,65 m2/s, Dy\*=0,065m2/s

,6 m2/s,Dy\*=0,26 m2/s



yban



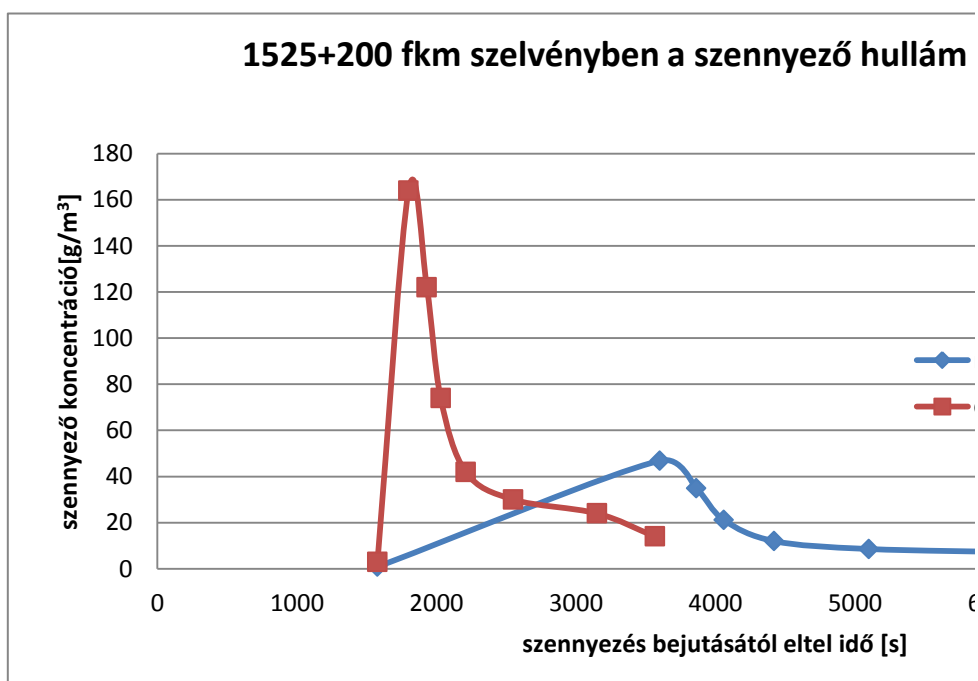


Vízbázis j	fkm	part	max koncent	front elére	közép elére
Ü1	1522,4-1521	bal	nem éri el a bal partot		
Ü2	1481,5-1480	bal	nem éri el a bal partot		
Ü3		bal	nem éri el a bal partot		
T1	1512-1508,5	jobb	41,2	4,10	4,32
T2	1506-1502	jobb	33,3	5,35	5,56
T3	1519,5-1517	bal	nem éri el a bal partot		
T4	1515-1514	bal	nem éri el a bal partot		
T5	1502-1498	bal	nem éri el a bal partot		
T6	1495-1493	bal	nem éri el a bal partot		
T7	1492,5-1489,5	jobb	22,2	9,07	9,31
T8	1485-1481,5	jobb	20,2	10,66	11,39
T9	1473-1470	jobb	16,8	14,46	14,72
T10	1467-1465,5	jobb	14,9	16,12	16,39
T11	1463-1459	bal	nem éri el a bal partot		

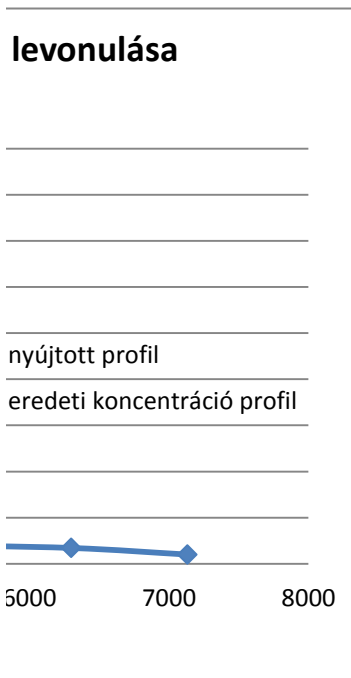
farok eléré	érintettségi idő [h]	
5,85	1,75	
7,08	1,73	
10,61	1,54	
12,84	2,18	
15,24	0,78	
16,93	0,81	

Nyújtott bejutási profil hatása a hullám levonulására

1577	0,0015	3	1577	0,857143
1800	0,082	164	3600	46,85714
1931	0,061	122	3862	34,85714
2030	0,037	74	4060	21,14286
2210	0,021	42	4420	12
2550	0,015	30	5100	8,571429
3150	0,012	24	6300	6,857143
3566	0,007	14	7132	4







Dx	1,3	Dx
95000	0 0,054494	95000
94900	0 0,098824	94900
94800	0 0,172786	94800
94700	0 0,291287	94700
94600	0 0,473513	94600
94500	0 0,742303	94500
94400	0 1,12231	94400
94300	0 1,636735	94300
94200	0 2,302701	94200
94100	0 3,125795	94100
94000	0 4,094775	94000
93900	0 5,177788	93900
93800	0 6,321506	93800
93700	0 7,454192	93700
93600	0 8,492922	93600
93500	0 9,354124	93500
93400	0 9,965604	93400
93300	0 10,27762	93300
93200	0 10,27059	93200
93100	0 9,957659	93100
93000	0 9,381745	93000
92900	0 8,607666	92900
92800	0 7,711385	92800
92700	0 6,768684	92700
92600	0 5,845503	92600
92500	0 4,99156	92500
92400	0 4,237862	92400
92300	0 3,59783	92300
92200	0 3,071055	92200
92100	0 2,648319	92100
92000	0 2,316587	92000
91900	0 2,062882	91900
91800	0 1,87648	91800
91700	0 1,749331	91700
91600	0 1,675095	91600
91500	0 1,647462	91500
91400	0 1,658541	91400
91300	0 1,697959	91300
91200	0 1,753016	91200
91100	0 1,809856	91100
91000	0 1,855252	91000
90900	0 1,878454	90900
90800	0 1,87251	90800
90700	0 1,834736	90700
90600	0 1,766278	90600

90500	0	1,671024	90500
90400	0	1,554294	90400

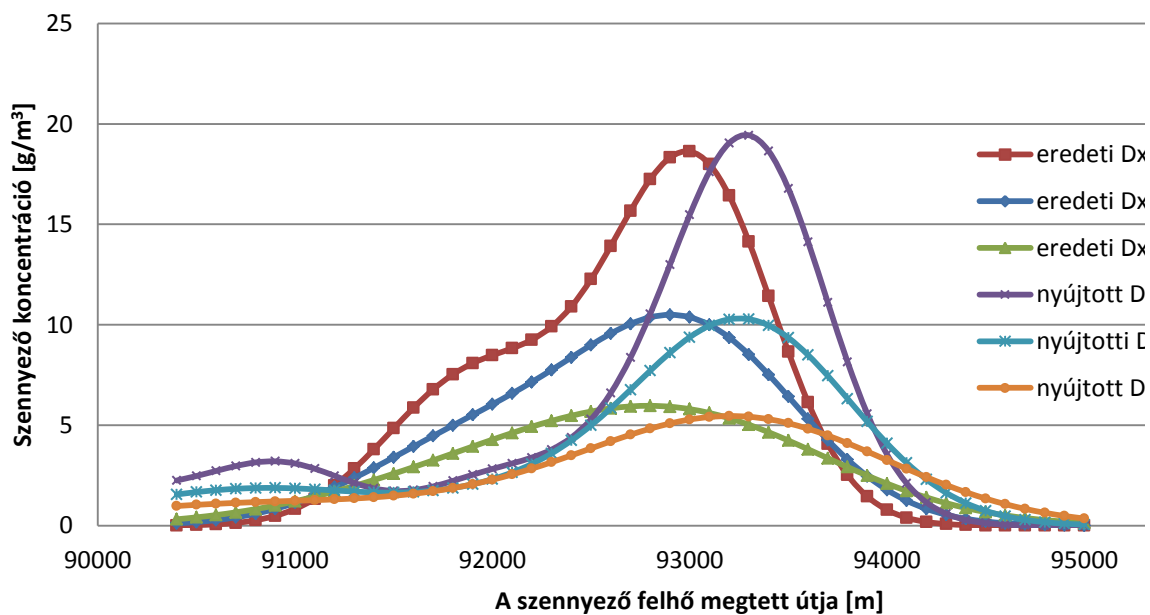
0,65

Dx=

2,6

0	0,000711	95000	0	0,356389
0	0,00232	94900	0	0,482089
0	0,007025	94800	0	0,640435
0	0,019765	94700	0	0,835573
0	0,05166	94600	0	1,07072
0	0,125462	94500	0	1,347629
0	0,283161	94400	0	1,666066
0	0,594022	94300	0	2,023343
0	1,15857	94200	0	2,413982
0	2,101464	94100	0	2,829581
0	2,546178	94000	0	2,258024

### A szennyező felhő hosszirányú koncentráció eloszlása a határnál



0	2,823527	92000	0	2,287428
0	2,533097	91900	0	2,061845
0	2,22906	91800	0	1,871189
0	1,953574	91700	0	1,714091
0	1,76757	91600	0	1,587803
0	1,725294	91500	0	1,488572
0	1,850717	91400	0	1,41199
0	2,123725	91300	0	1,353321
0	2,481208	91200	0	1,307777
0	2,833807	91100	0	1,270766
0	3,093529	91000	0	1,238093
0	3,202245	90900	0	1,20612
0	3,149235	90800	0	1,171885
0	2,969673	90700	0	1,133166
0	2,724736	90600	0	1,088508

0	2,473193	90500	0	1,037195
0	2,248494	90400	0	0,979194

$\kappa=0,65 \text{ m}^2/\text{s}$
$\kappa=1,3 \text{ m}^2/\text{s}$
$\kappa=2,6 \text{ m}^2/\text{s}$
$\chi=0,65 \text{ m}^2/\text{s}$
$\chi=1,3 \text{ m}^2/\text{s}$
$\chi=2,6 \text{ m}^2/\text{s}$
96000